

II-7 北海道各港の波浪特性

北海道開発局 正員 ○吉本 豊
 同 上 正員 上西隆広
 同 上 正員 竹田英章
 塩尻工業大学 正員 近藤徹郎

1 まえがき

海岸構造物の計画設計、海浜変形の予測、海上工事の施工管理などをを行うためには、波浪特性を把握することが不可欠の要件となっている。また、近年枯渇状態に近づきつつある石油エネルギーの代替エネルギーとして、自然エネルギーの利用が叫ばれており、この一つとして波浪エネルギーの研究が進められている。この意味においても、各海域の波浪特性を明らかにすることは重要である。

北海道をとりまく海は、西に日本海、東に太平洋、東にオホーツク海があり、その沿岸に点在する各港の波浪特性も、地形的な影響だけでなく、海域による影響が極めて大きいと考えられる。北海道の主要な港湾、漁港の本格的な波浪観測が始まられたのは、昭和30年代である。当時は、多くの港で宇田居式波高計が採用されていた。その後、昭和40年代になって村木式が開発したステップ式波高計が全道の主要港に普及し、測得率および観測精度の高いデータが取得できるようになった。昭和50年代に入ってからは、港の外部施設の大水深化に対応し、観測点を沖合にすら必要が生じ、観測塔を使用しない超音波式波高計にしだいに切り替られてきている。

本報告は、北海道開発局管内の港湾、漁港で取得した波浪観測データを統計整理し、波高、周期、波浪エネルギーなどの波浪特性を海域別・四季別に比較検討を試みたものである。北海道の各港の波浪特性については、すで

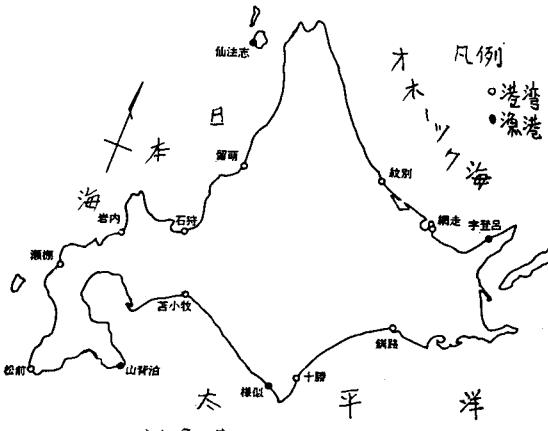


図-1 対象港

表-1 観測計器、統計期間、測得状況

海域	港名	観測計器		統計期間		測得状況	
		器種	水深	期 間	年数	日観測数	測得率
日本海	仙法志	ステップ式	-12 m	71.12 ~ 75.11	4	12	83.9%
	留萌	"	-12	71.12 ~ 76.11	5	12	85.8
	石狩	超音波式	-10 -24 (昭)	70.12 ~ 72.11, 74.9 ~ 75.8 76.9 ~ 77.8, 78.6 ~ 79.5	5	12	89.2
	岩内	ステップ式	-11.6	74.12 ~ 79.11	5	12	93.8
東部	瀬棚	超音波式	-25	78.6 ~ 80.5 68.11 ~ 81.10, 80.11 ~ 82.10	2	12	96.2
	松前	ステップ式	-12	75.8 ~ 76.7 69.12 ~ 71.11, 72.12 ~ 74.11 75.12 ~ 76.11	4	12	80.4
西部	山背泊	"	-10	75.12 ~ 76.11	5	6	87.2
	苫小牧	"	-13	71.12 ~ 76.11	5	12	98.7
	様似	"	-10	68.9 ~ 71.8, 73.9 ~ 74.8	4	12	82.4
東洋部	十勝	(静電式)	-	69.9 ~ 71.8	2	(12)	88.4
	釧路	超音波式	-12	71.3 ~ 72.2, 72.12 ~ 73.11	2	12	90.2
オホーツク海	宇登呂	"	-12	70.5 ~ 12, 72.5 ~ 12 76.5 ~ 12, 78.5 ~ 12	4	12	75.3
	網走	"	-30	79.5 ~ 12	1	12	85.1
	紋別	"	-18	75.5 ~ 12, 76.5 ~ 12, 77.5 ~ 12 78.5 ~ 12, 79.5 ~ 12	5	12	96.0

に鴻上らによつて昭和41年までの、主に宇田居式波高計で取得したデータを解析し、報告がなされている。¹⁾最近のデータを利用したものに、牧野らの報告がある。²⁾これは、月別波高分布、異常気象の確率波高、年間波浪エネルギーなどが検討されている。

2. 対象港および統計データ

統計解析の対象とした波浪観測は、日本海側6港、太平洋側5港、オホーツク海側3港の計14港とした。各港の観測計器、統計期間、測得状況の一覧を表-1に示す。波高計は、十勝の宇田居式以外は、すべてステップ式または超音波式となっている。統計年数は、異常気象の年が含まれても平均化されることを考慮し、4~5年を目標とした。しかし、年間、1ヶ月以上の連續した欠測のない期間を統計の対象としたため、瀬棚、十勝、釧路は2年、網走は1年しかとることができなかつた。また、オホーツク海側の3港は、流氷期を除く5~12月を統計の対象とした。以下、解析に用いた波高、周期はゼロアップクロス法で求めた H_{10} 、 T_{10} とする。

3. 波高

一般に、常時の波高分布を表わすのに未超過確率を用いることが多い。このときの未超過確率は、ある期間(年、季節、月)にある波高を超過しない確率を考える。反対に、100%から未超過確率を引いて求められる超過確率は、ある波高以上の波が発生する確率を与える。以下においても、未超過確率によって波高の海域別季節別の特性を検討することにする。

図-2~2~6は、未超過確率をパラメータとして各港の波高を比較したものである。図-2は、年間の波高を示したものである。50%の未超過確率に相当する波高(以下、未超過確率波高と呼び、HPの記号を用いる)は、0.6~0.8mに分布し、海域別の差はない。しかし、75%のHPは、日本海側で1.3m程度、太平洋側で1m前後、オホーツク海側で1.1m程度となり、日本海側とオホーツク海側が太平洋側よりやや大きいことがわかる。95%のHPは日本海側、オホーツク海側が2.5m前後となるのに対し、太平洋側では1.8m前後となり、その差はかなり開き、太平洋側に大きな時化の頻度が少ないことがわかる。各海域のなかでは、日本海北部の留萌、日本海南部の瀬棚、太平洋西部の様似、太平洋東部の釧路、オホーツク海の宇登呂などが、他の同じ海域の港より、やや大きな波高となつてゐる。これは、地形的な影響によると考えられる。図には99%のHPも示しているが、このような波は、異常気

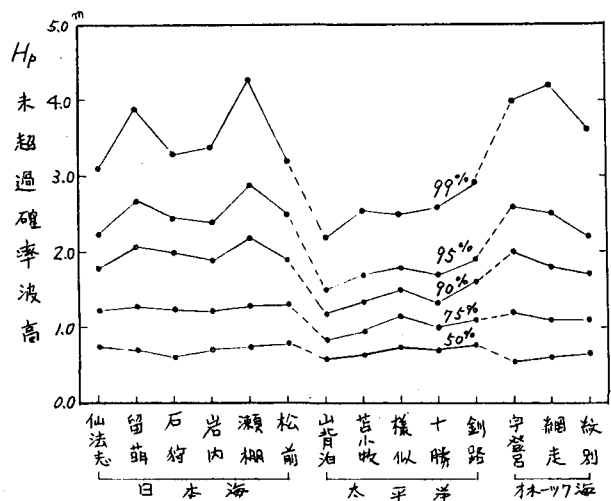


図-2 未超過確率波高(年間)

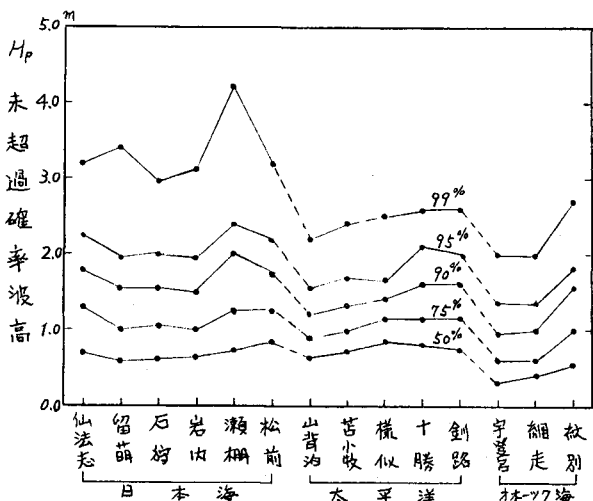


図-3 未超過確率波高(春期)

象によって起るものであり、統計期間が違うとまた異なる値を示すと考えられ、この図および以下の図においては参考値として示した。

季節別の波高特性を述べるまえに、北海道の気象のあらましについて、簡単に述べることにする。まず、春期は3月のながばを過ぎると大陸高気圧は衰え、北西季節風の吹く日数が少しずつ減ってくる。そして、4月、5月になると北海道の西側を北上する移動性低気圧が、しばしば現われ、これに伴う南よりの強い風が吹くことがある。またオホーツク海の流水は4月上旬、後退し海あけとなる。夏期は、気圧配置が南高北低となり、南東季節風の最盛期となる。秋期になると、大陸の高気圧が徐々に強まる。この間に、移動性高気圧と低気圧が交互に通過し、寒冷前線のあとに冷涼な秋風が吹きだす。また、9月、10月は、台風がしばらく北上し、全道的に暴風雨をもたらす。冬期は、西高東低の気圧配置となり、強い北西の季節風が吹くことになる。特に、日本海沿岸は 15 sec 以上の強風になることがしばしば起る。オホーツク海沿岸では、1月上旬に流水が着岸する。

春期(3,4,5月)のHPを図-3に示す。この図から、50%のHPを見ると、日本海側と太平洋側は、ほとんど差がなく、両方とも $0.6\sim0.8\text{ m}$ になっている。一方、オホーツク海側(5月)は、 $0.4\sim0.6\text{ m}$ と穏やかになっている。95%のHPは、日本海側が $2\sim2.4\text{ m}$ であるのに対し、太平洋側は $1.7\sim2\text{ m}$ と小さな値になっている。オホーツク海側は、さらに小さく、 $1.4\sim1.7\text{ m}$ となっている。同じ海域で見ると、日本海では、南の対岸距離が南放になっている仙法志、瀬棚、松前が大きな波高となっている。太平洋側では、東部の十勝、釧路が大きく、オホーツク海では、東よりの対岸距離の長い紋別が大きい。

夏期(6,7,8月)のHPを図-4に示す。50%のHPは日本海側とオホーツク海側で $0.2\sim0.5\text{ m}$ となり、極めて穏やかなことがわかる。太平洋側は、 $0.6\sim0.8\text{ m}$ となり、年間の値とほぼ同じである。95%のHPは、日本海側、オホーツク海側で $1\sim1.3\text{ m}$ となり、この海域は一年で一番静かな時期となる。ただ、日

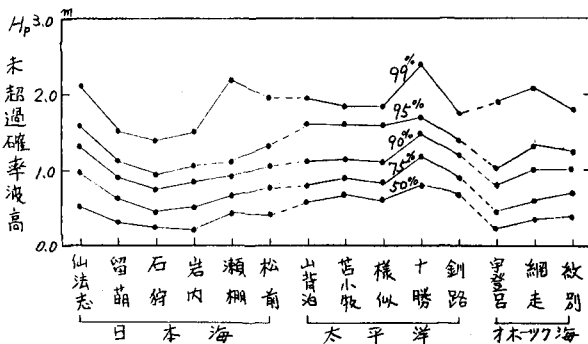


図-4 未超過確率波高(夏期)

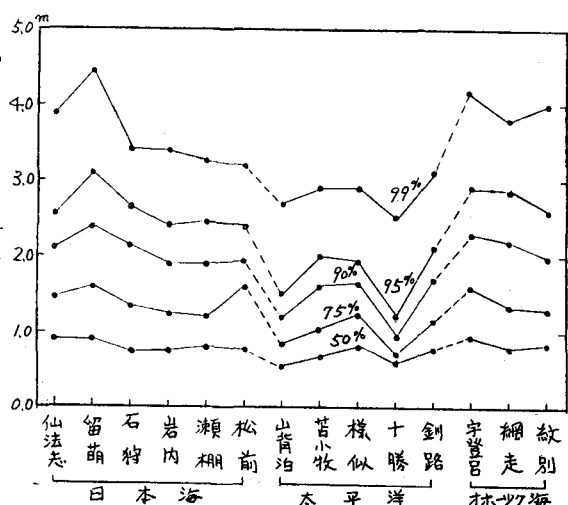


図-5 未超過確率波高(秋期)

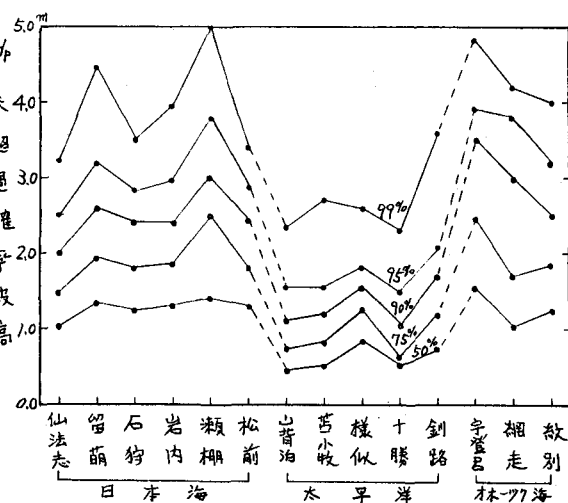


図-6 未超過確率波高(冬期)

本海の仙法志は島にあり、南側の対岸が開放となっているため、1.5^mとやや大きな値を示す。太平洋は、1.6^m程度となる。

秋期(9,10,11月)のHPを図-5に示す。50%のHPは、日本海側で0.7~0.9^m、太平洋側で0.6~0.8^m、オホーツク0.8~0.9^mとほぼ同じである。しかし、95%のHPは、日本海側、オホーツク海側で2.5~3^mであるのに対して、太平洋側は2^m程度となる。太平洋側で、特徴的なのは、西方が陸岸で閉鎖されている山背泊、十勝が、それでは1.5^m、1.2^mと特に低い値を示す。

冬期(12,1,2月)のHPを図-6に示す。50%のHPは、日本海側、オホーツク海側で1~1.3^m、太平洋側で0.5~0.8^mとなり、日本海側、オホーツク海側では、海上の荒れ日が非常に多い時期となる。95%のHPは、日本海側、オホーツク海側で3~3.5^m程度の非常に大きな値を示すのに、太平洋側では1.5^m程度で、他の季節に比べてもあまり大きくならない。ただし、西よりの対岸距離の比較的長い様似、釧路は、それぞれ1.8^m、2.1^mとやや大きな値を示す。

以上、季節別の海域特性を述べてきたが、これをまとめると次のようことがわかる。日本海側は、北西の季節風の強い冬期は大なる時化が続くが、夏期は非常に静穏となる。秋期は、北西の季節風が周期的に吹いたり、移動性低気圧が北上したりするため、夏期ほど静穏とはならない。太平洋側は、日高山脈南端の襟裳岬が南の方に深く突き出しているため、各港の波浪特性は地形の影響を受け一律に論じられないが、一般に季節的な差は、日本海側ほど大きくはない。極めて大きな時化は、台風が発達する秋期に多い。また、夏期は南東の季節風により、あまり静穏にはならない。オホーツク海側は、日本海側に近い傾向を示す。

4. 周期

図-7は、年間の周期別出現率を示したものである。日本海側は、4~6^{sec}の短周期の出現率が最も高く、50%以上を占める港が多い。次いで6~8^{sec}が35%前後となり、8^{sec}以下の累計がいずれの港も90%を超える。太平洋側は、港によって種々異なるが、8^{sec}以上の長周期の出現率は、日本海側と比べ非常に高く、うねりの来襲頻度の多いことがわかる。特に、10^{sec}以上の長周期の出現率の高い港としては、山背泊の25%、様似の20%、釧路の8%がある。また、太平洋岸の弓状海岸線の最東部または屈曲部に位置する呂小牧、十勝は、4^{sec}以下の出現率が30%と高いことが注目される。これは、海岸線に近い方向に発達する吹送距離の短い風波を観測していると考えられる。オホーツク海側は、港

による差異はあまりなく、4~6^{sec}が35%程度、6~8^{sec}が35%程度、8^{sec}以上25%程度となっている。これを日本海側と比較すると、8^{sec}以上の長周期が3倍程度にもなり、周期の発達した波が来襲することがわかる。

簡単に季節別の特徴を述べると、日本海側、オホーツク海側は冬期に波高が大きくなるだけではなく周期も長くなる傾向にある。一方、夏期は、短周期のものが非常に多い。太平洋側では、季節による差はあまりない。ただし、長周期のものについては、十勝を除いて秋期にやや多くなる。

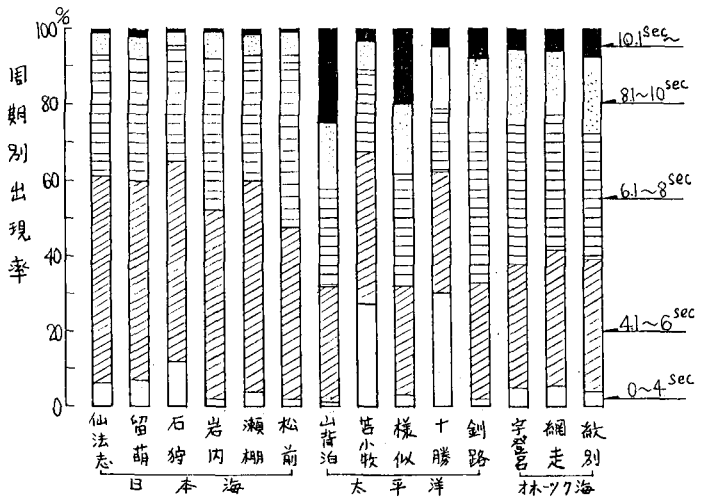


図-7 周期別出現率(年間)

5. 波浪エネルギー

波のエネルギー量は、一般に波の進行方向に直角、すなわち峰の方向の単位幅を単位時間に通過する平均のエネルギー量(工率)で表現される。海の不規則な波の工率については、筆者のうち近藤による末尾に掲げた付録を参照されたい。以下では、Bretschneider-光易型のスペクトル密度関数から求めた工率によって検討した。

各港の期間別平均の工率を付録の式(12)によって求めた結果を示したのが図-8である。年間の平均工率は、日本海側、オホーツク側で4~5 kw/m となる。太平洋側では、様似、釧路が約3.5 kw/m であるが、その他は2~2.5 kw/m となる。

季節別について見ると、日本海側の冬期は、7~9 kw/m と大きな値を示す港が大半である。逆に、夏期は0.5~1.5 kw/m と極めて小さな値となる。また、春期は2.5~4 kw/m 、秋期は4 kw/m 程度となる。太平洋側では、日本海側のような季節による極端な差はない。しかし、地形的な影響を受け、港別にそれぞれ特徴がある。すなわち、南東に面した十勝では、北西季節風の影響を受けないため、冬期1.5 kw/m と他の港に比べ小さい値であるが、逆に夏期は3.5 kw/m と他の港よりも大きい。一方、西よりの比較的長い対岸距離を有する様似、釧路では、秋期、冬期、春期に4 kw/m 前後になり、他の港よりも大きい。オホーツク海側は、秋期4 kw/m 程度、冬期(12月)は10 kw/m を超える大きな値となる。逆に、春期(5月)、夏期は1 kw/m 程度の小さな値となり、季節による差は、日本海側と同じように極端に大きい。

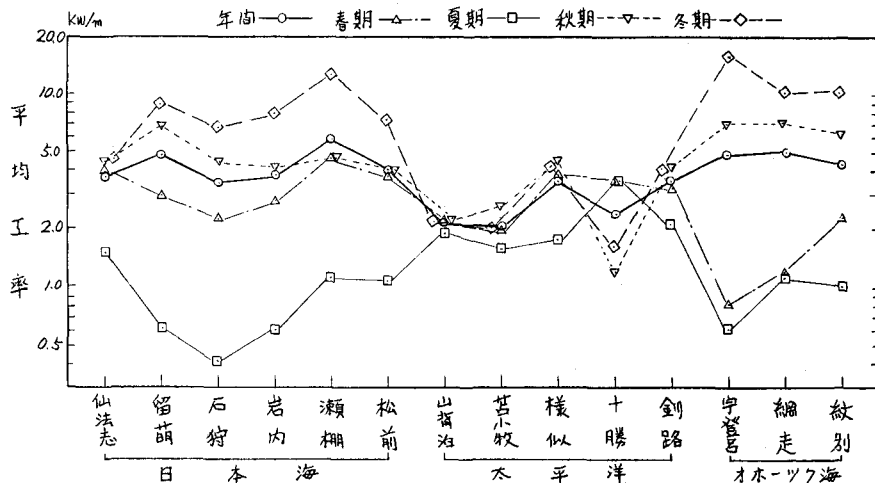


図-8 波浪の期間別平均工率

6. おまけ

本報告では、各港の波浪観測結果から、海域別の波高、周期、波浪エネルギーなどの沿岸波浪の特性について述べてきた。しかし、実際の海岸構造物の配置や海浜変形の検討には、ここで扱わなかった波向特性も極めて重要なので、今後これについてもデータを取りまとめ報告したいと考えている。

参考文献

- 1) 鴻上雄三、佐藤 功・井上豪彦、潮 昭尋：北海道沿岸における波浪特性、第11回北海道開拓局技術研究発表論文集、昭和42年2月
- 2) 牧野成雄、吉岡経治：北海道沿岸の波浪と潮位特性について、土木試験所報告第41号、昭和54年2月
- 3) 札幌管区気象台：北海道の気候、気象協会北海道地方本部、昭和39年3月

I. 不規則波のスペクトル密度関数

一次元のスペクトル密度関数は、通常、下のように与えられる。^{b)}

$$E(f) = Af^{-\frac{5}{4}} \exp(-Bf^{-\frac{4}{3}}) \quad (m^2/sec) \quad (1)$$

A, Bは研究者によって異なる値が提案されてい。例えば、Pierson-Moskowitzのスペクトルでは下式のようである。^{c)}

$$\left. \begin{aligned} A &= 8.10 \times 10^{-3} (2\pi)^{-4} g^2 \\ B &= 0.74 (g/2\pi h)^{\frac{4}{3}} \end{aligned} \right\} \quad (2)$$

ここでgは重力加速度(9.81m/sec²)、hは水面上19.5mにおける風速(m/sec)である。また、A, Bを有義波高H_{1/3}(m)およびゼロアップクロス平均周期T_{0.1}(sec)で表現すると下のようになる。

$$A = \frac{H_{1/3}^2}{4\pi T_{0.1}^{\frac{5}{4}}} , \quad B = \frac{1}{\pi T_{0.1}^{\frac{4}{3}}} \quad (3)$$

(2)式と(3)式は、下の関係による。

$$\left. \begin{aligned} H_{1/3} &= 2.12 \times 10^{-2} U^2 \\ T_{0.1} &= 0.81 \times (2\pi U/g) \end{aligned} \right\} \quad (4)$$

良く知られている。この他の二種のスペクトルのA, Bは、付表に示す。^{b), d)}

II. 不規則波のエネルギー

不規則波がもつ単位面積当たりの全エネルギーは、

$$E = \omega_0 \int_0^\infty E(f) df = \omega_0 \cdot \bar{h}^2 \quad (5)$$

と表わされる。ここに、ω₀は水の単位重量、h̄は水位変動自乗の平均である。(1)式のE(f)を上式に代入し、積分を実施する。その際、次式の関係を利用する。^{b)}

付表、各種スペクトル密度関数のA, B, ω₀, h̄

名 称	A	B	W/ω ₀	W(kN/m)
Pierson-Moskowitz	$\frac{1}{4\pi} H_{1/3}^2 T_{0.1}^{-\frac{5}{4}}$	$\frac{1}{\pi} T_{0.1}^{-\frac{4}{3}}$	0.0589 H _{1/3} ² T _{0.1} ^{-\frac{5}{4}}	0.59 H _{1/3} ² T _{0.1}
ISSC(国際船体構造会議)	0.111 H _{1/3} ² T _{0.1} ^{-\frac{5}{4}}	0.443 T _{0.1} ^{-\frac{4}{3}}	0.0543 H _{1/3} ² T _{0.1} ^{-\frac{5}{4}}	0.55 H _{1/3} ² T _{0.1}
Bretschneider-光易	0.258 H _{1/3} ² T _{0.1} ^{-\frac{5}{4}}	1.03 T _{0.1} ^{-\frac{4}{3}}	0.0439 H _{1/3} ² T _{0.1} ^{-\frac{5}{4}}	0.44 H _{1/3} ² T _{0.1}

注) T_{0.1}とT_{0.1}の関係は、T_{0.1} ≠ 1.086 T_{0.2}となる。

$$\int_0^\infty A f^m \exp(-B f^{-\frac{4}{3}}) df = \frac{A}{n} \cdot \frac{T^{(m-1)/n}}{B^{(m-1)/n}} \quad (6)$$

この場合は、m=5, n=4であるから、T(1)=1となるので、Eは次式で表される。

$$E = \omega_0 \frac{A}{4B} = \frac{1}{16} \omega_0 H_{1/3}^2 \quad (7)$$

III. 不規則波の工率

単位峰高を単位時間に通過する波のエネルギー量WとエネルギーEとの関係は、規則波では下のようである。

$$W = E \cdot C_g \quad (8)$$

ここでC_gは波の群速度であり、深水波では、

$$C_g = \frac{1}{2} C_0 = \frac{1}{2} (\frac{g}{2\pi} T) = \frac{g}{4\pi f} \quad (9)$$

とする。(8)式は不規則波の一つの周波数の波に当てはまると考えられるから、不規則波では

$$W = \omega_0 \int_0^\infty E(f) \cdot C_g df = \frac{g \omega_0}{4\pi} \int_0^\infty A f^{-\frac{5}{4}} \exp(-B f^{-\frac{4}{3}}) df \quad (10)$$

となる。(6)式の関係から上式は、次式のようになる。

$$W = \frac{g \omega_0}{4\pi} \left[\frac{A}{4} \cdot \frac{T^{(5/4)}}{B^{5/4}} \right] = \frac{\omega_0 g}{16\pi} \cdot \frac{A}{B^{5/4}} \cdot 0.9064 \quad (11)$$

ここに、Wの単位は(t²m/sec·m)である。これを(k^2/m)で表わすと、次式のようになる。

$$\bar{W} = 9.8 W \quad (12)$$

附表には、海水のω₀を1.025t²/m²として計算したWと、W/ω₀と共に示した。

参考文献

- 光易 恒: 構造物に作用する不規則な波の解析、シンポジウム誌と構造物、土木学会、1972.
- 本間 仁・林 泰造 編: 続水理学、丸善、1980.
- 岩垣雄一・根木 亨: 海岸工学、共立出版、1979.
- 田口賢士ほか訳: 確率過程工学(基礎と応用)、共立出版、1980.